

Apéndice A

A.1. Gráficas de la evolución temporal de los descendientes del radón en el agua de lluvia

En este apéndice se presentan las gráficas correspondientes a la evolución temporal de los descendientes del radón en el agua de lluvia medidos con el equipo SARAC que se describe en la sección 5.3 de este trabajo.

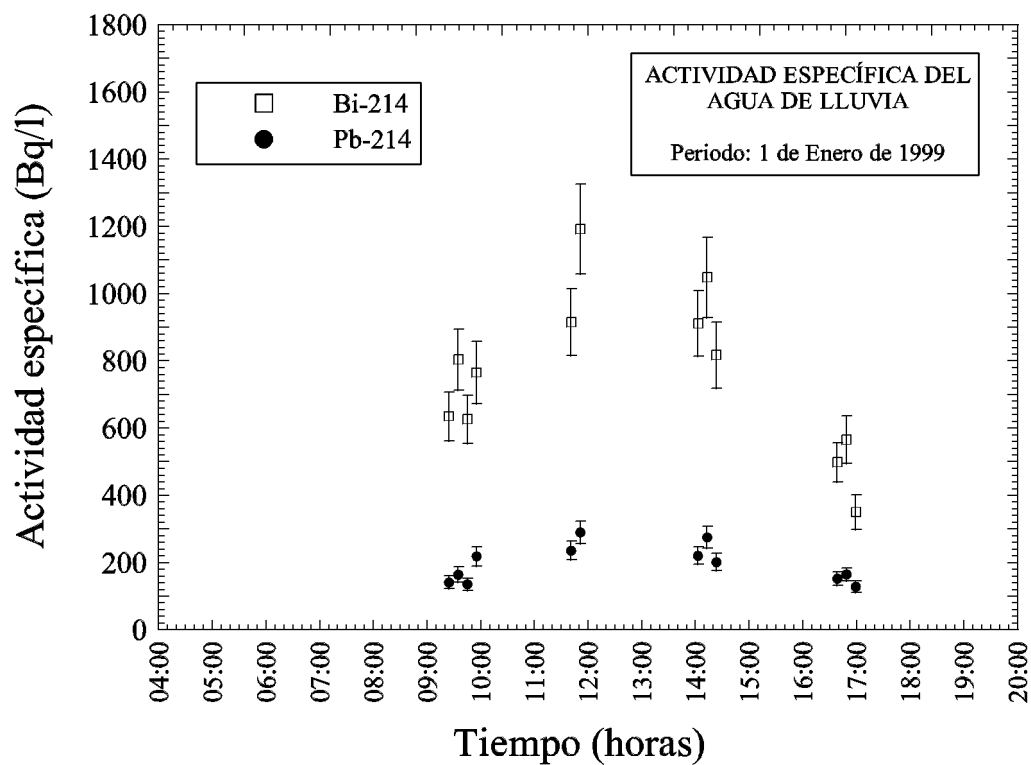


Figura A.1: Actividad específica de los descendientes del radón ^{214}Pb y ^{214}Bi en el agua de lluvia registrada durante el día 1 de enero del año 1999 en la estación ESCRA.

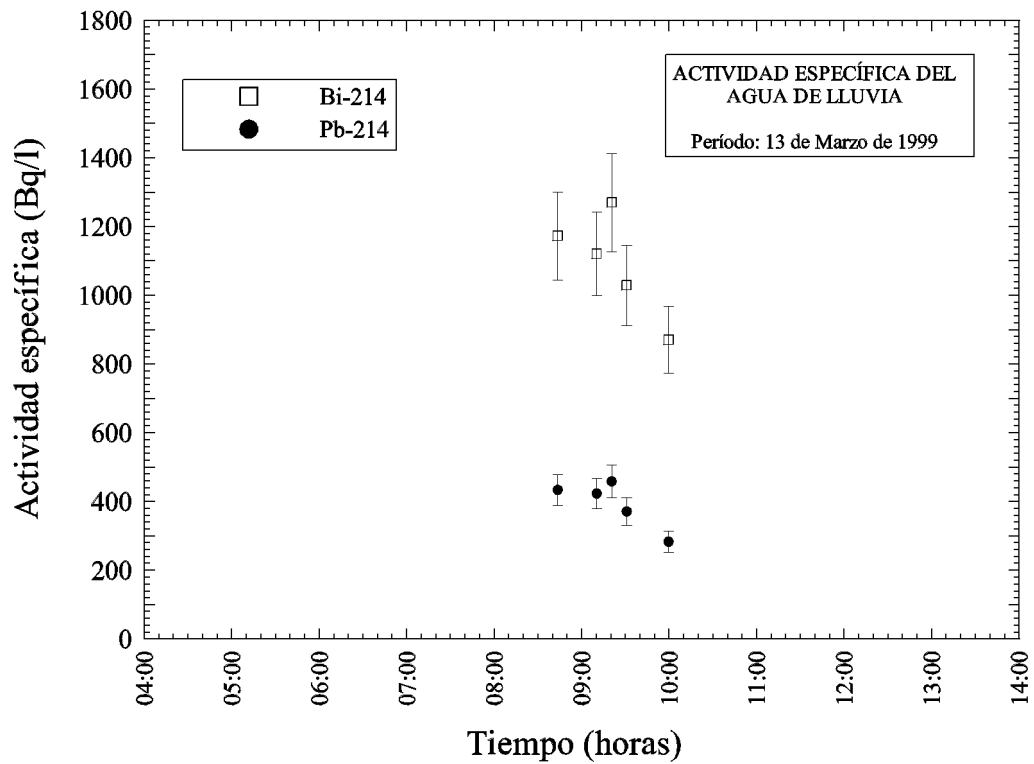


Figura A.2: Actividad específica de los descendientes del radón ^{214}Pb y ^{214}Bi en el agua de lluvia registrada durante el día 13 de marzo del año 1999 en la estación ESCRA.

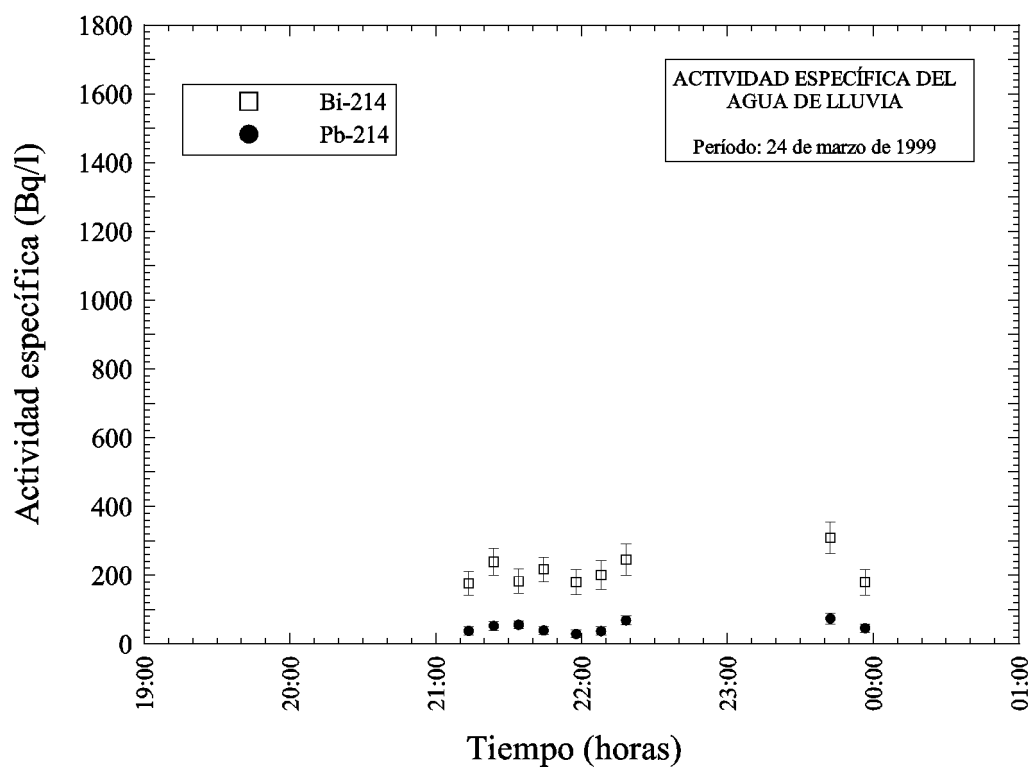


Figura A.3: Actividad específica de los descendientes del radón ^{214}Pb y ^{214}Bi en el agua de lluvia registrada durante el día 24 de marzo del año 1999 en la estación ESCRA.

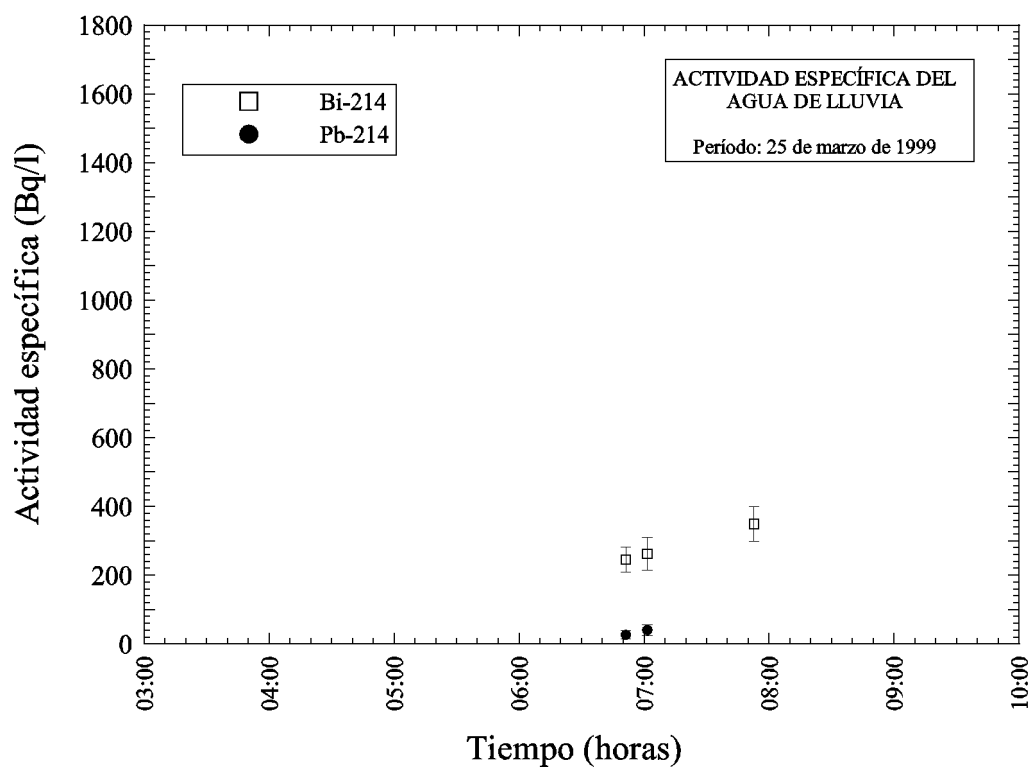


Figura A.4: Actividad específica de los descendientes del radón ^{214}Pb y ^{214}Bi en el agua de lluvia registrada durante el día 25 de marzo del año 1999 en la estación ESCRA.

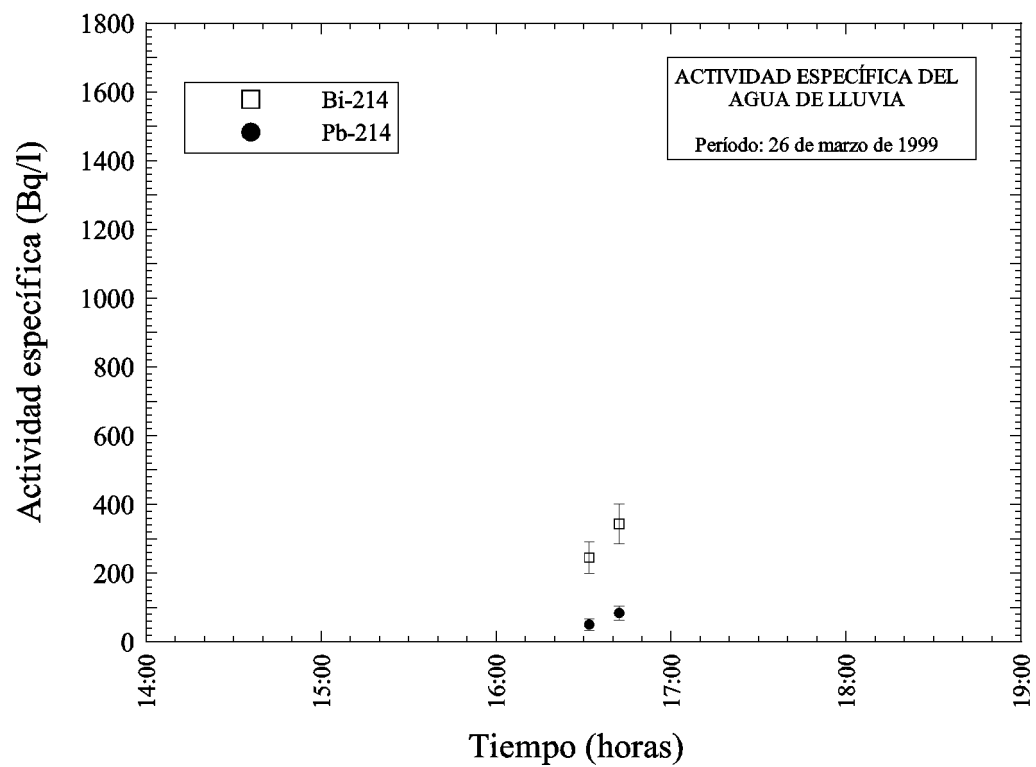


Figura A.5: Actividad específica de los descendientes del radón ^{214}Pb y ^{214}Bi en el agua de lluvia registrada durante el día 26 de marzo del año 1999 en la estación ESCRA.

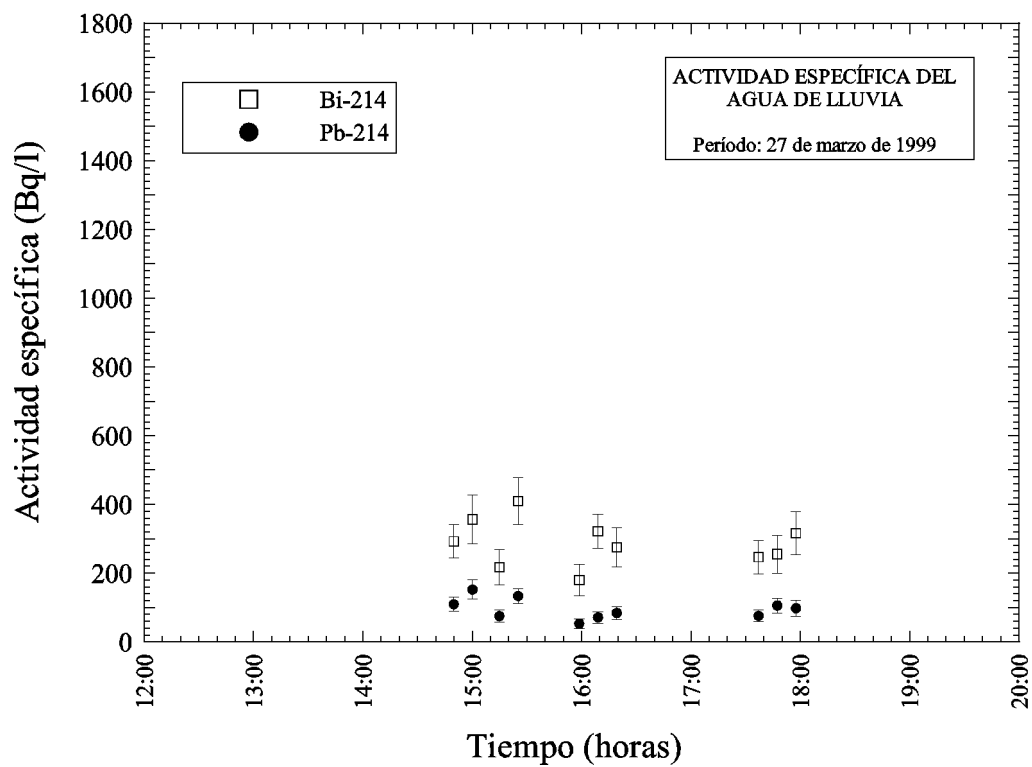


Figura A.6: Actividad específica de los descendientes del radón ^{214}Pb y ^{214}Bi en el agua de lluvia registrada durante el día 27 de marzo del año 1999 en la estación ESCRA.

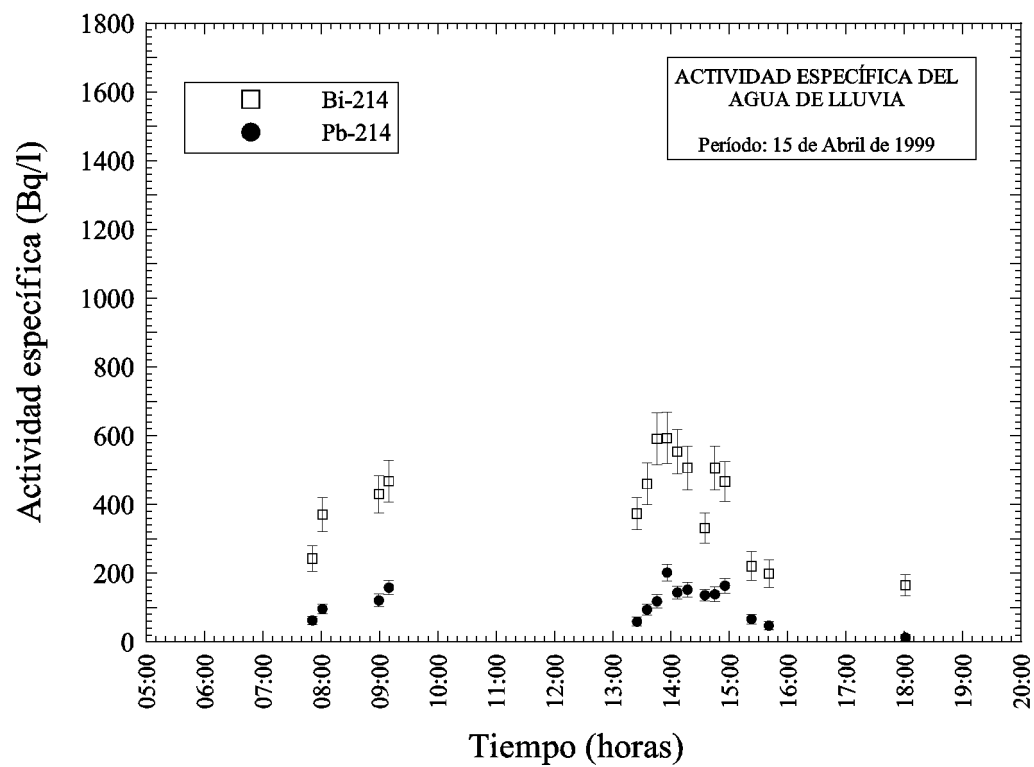


Figura A.7: Actividad específica de los descendientes del radón ^{214}Pb y ^{214}Bi en el agua de lluvia registrada durante el día 15 de abril del año 1999 en la estación ESCRA.

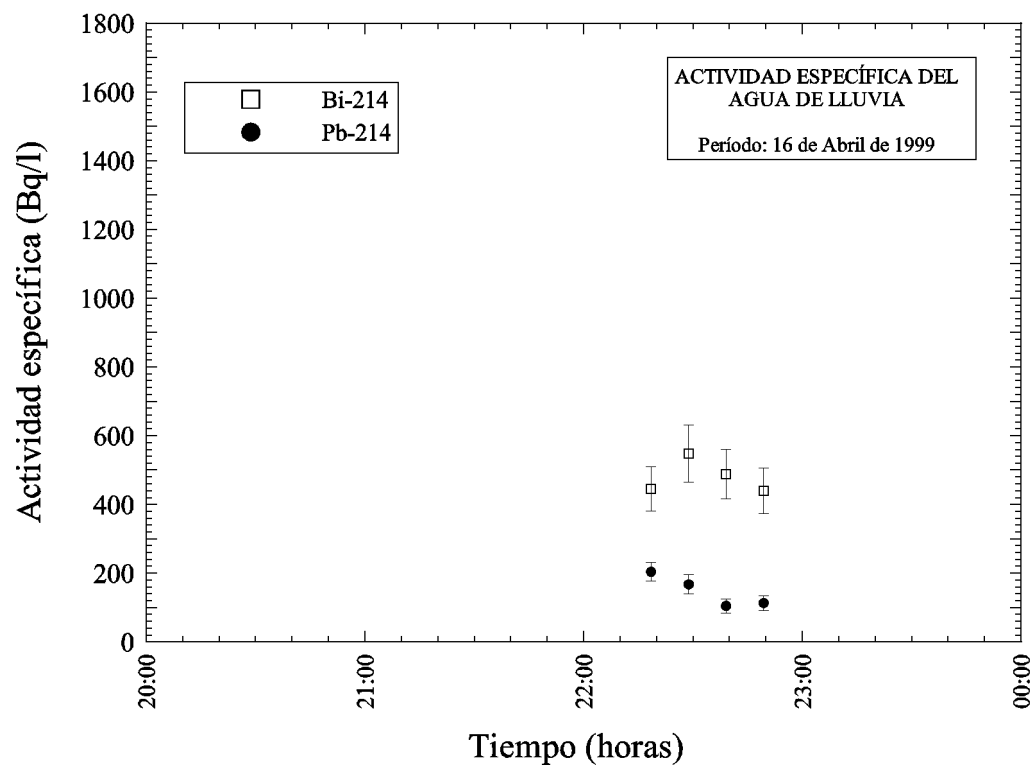


Figura A.8: Actividad específica de los descendientes del radón ^{214}Pb y ^{214}Bi en el agua de lluvia registrada durante el día 16 de abril del año 1999 en la estación ESCRA.

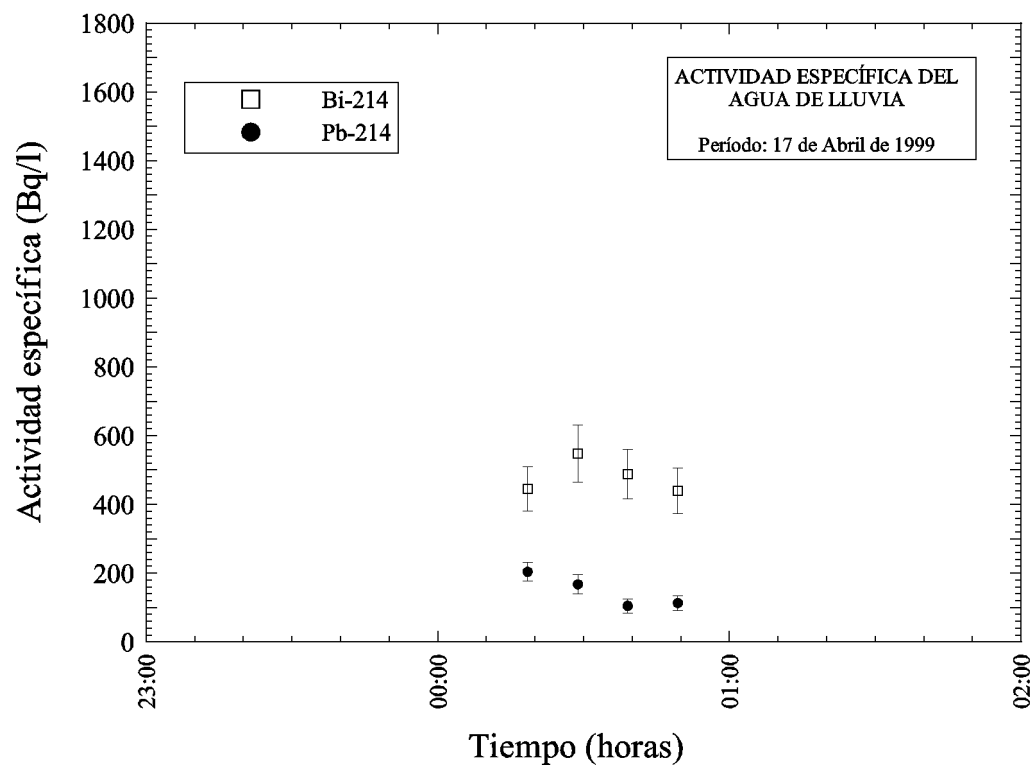


Figura A.9: Actividad específica de los descendientes del radón ^{214}Pb y ^{214}Bi en el agua de lluvia registrada durante el día 17 de abril del año 1999 en la estación ESCRA.

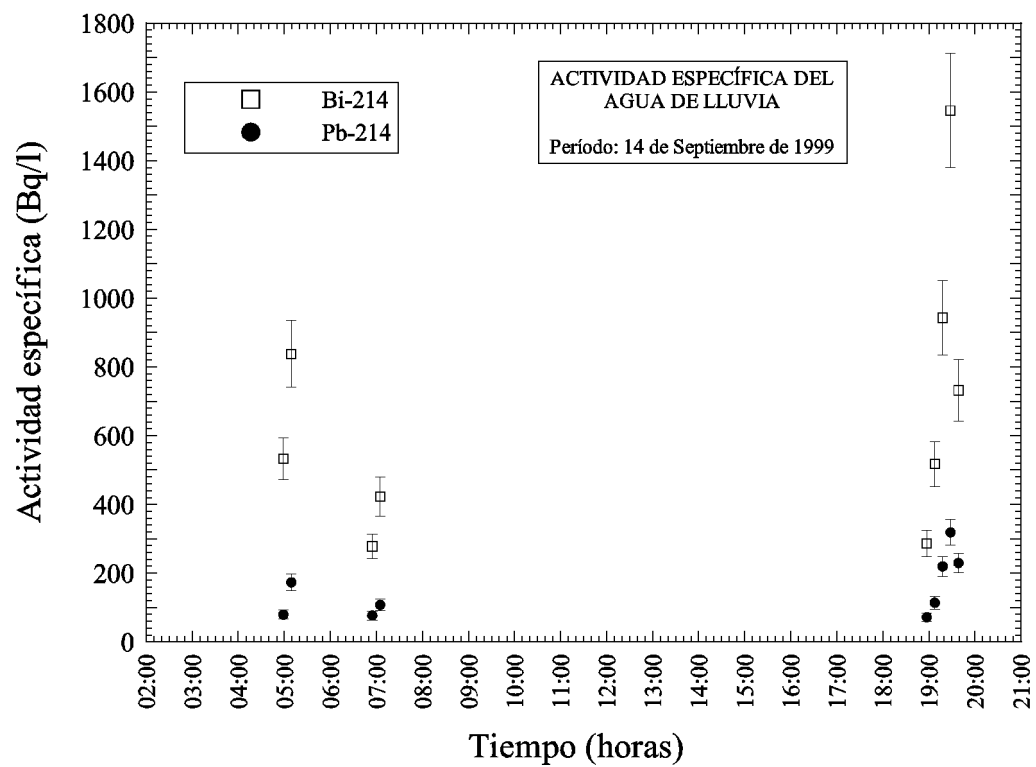


Figura A.10: Actividad específica de los descendientes del radón ^{214}Pb y ^{214}Bi en el agua de lluvia registrada durante el día 14 de septiembre del año 1999 en la estación ESCRA.

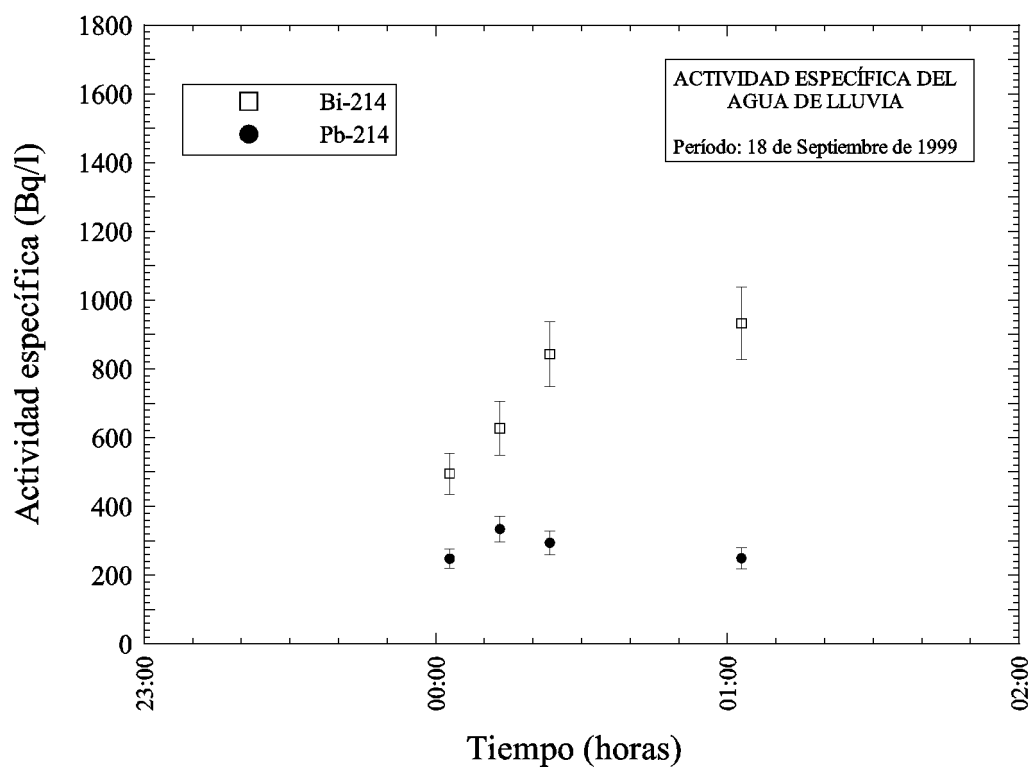


Figura A.11: Actividad específica de los descendientes del radón ^{214}Pb y ^{214}Bi en el agua de lluvia registrada durante el día 18 de septiembre del año 1999 en la estación ESCRA.

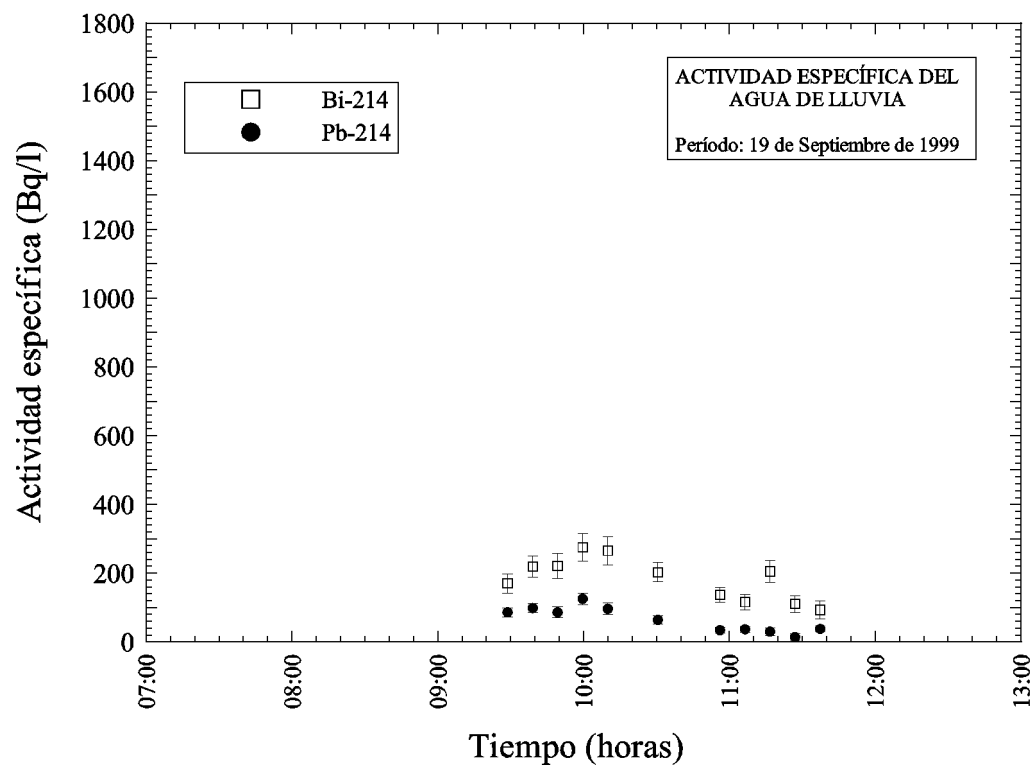


Figura A.12: Actividad específica de los descendientes del radón ^{214}Pb y ^{214}Bi en el agua de lluvia registrada durante el día 19 de septiembre del año 1999 en la estación ESCRA.

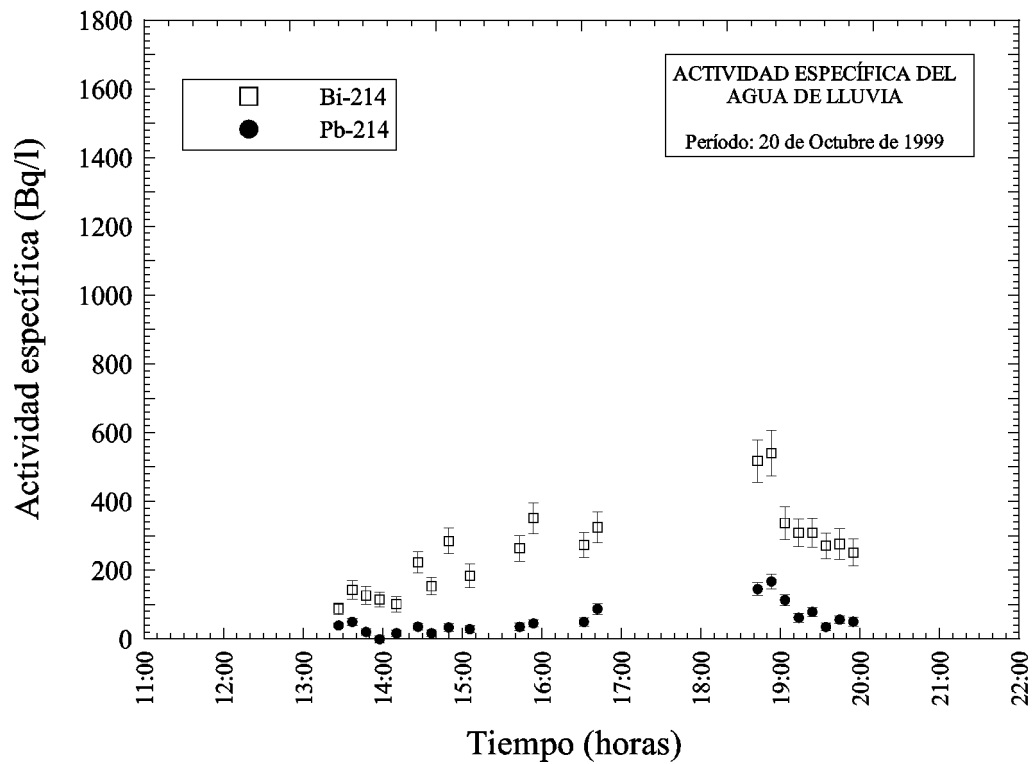


Figura A.13: Actividad específica de los descendientes del radón ^{214}Pb y ^{214}Bi en el agua de lluvia registrada durante el día 20 de octubre del año 1999 en la estación ESCRA.